

## II-16

## 冬型気圧配置における福岡・鹿児島の風速・風向分布

九州大学 総理工 学生員 ○片岡 治 正会員 松永 信博  
 学生員 福田 和代 非会員 本地 弘之

**1.はじめに** 本研究では、ドップラーソーダによる観測およびレーウィンゾンデのデータから福岡市、および鹿児島市の冬季における季節風の特徴を調べ、大気境界層内の風速分布について検討した。観測は1996年12月1日から1997年2月21日にかけて形成した西高東低の気圧場13ケースに対して行われた。

**2.観測概要** レーウィンゾンデ観測は高度約30kmまでの気象要素の観測が可能である。ゴム気球に吊したゾンデの電波の到来方向を自動追跡型方向探知器（ラジオセオドライ）で追跡することにより方位角と高度角を求め、風向および風速分布が算定される。高度は同じゾンデによる気圧・気温・湿度の観測（ラジオゾンデ観測）から求められる。ゾンデの高層風観測データは福岡、鹿児島気象台のものを用いた。ドップラーソーダによる観測は、ゾンデ放球時刻に合わせて九州大学春日キャンパス内で行われた。ドップラーソーダは音波を上空に向けて送信し、その後方散乱波を受信することにより上空の散乱体のドップラーシフトを検出するもので、地上より約1000mまでの風速・風向の観測が可能である。設定高度が大きくなるにつれデータ取得率が低下するため、今回の観測では高度を225mまでに設定した。また、ソーダによる測定は1分間隔で、30分間行った。表-1にゾンデとソーダによる観測日時を示す。データ解析による $U_g$ 、 $Z_u$ 、 $Z_\theta$ 、 $U_*$ および $Z_0$ については次節で言及する。

**3.結果と考察** 図-1は福岡市の風速 $U$ と風向WDの鉛直分布を、図-2は気温 $T_a$ 、温位 $\theta$ 、および相対湿度RHの鉛直分布を示す（共にcase3）。尚、図中において $r_s$ はゾンデ、 $d_s$ はソーダのデータであることを示す。まず、図-1に示される風速分布から風速の変曲点における風速 $U_g$ とその高さ $Z_u$ 、図-2の温位の分布からは温位の変曲点の高さ $Z_\theta$ を求めた。図-1より大気境界層内の風速は、高度が小さくなるにつれて地表面の摩擦の影響により速度勾配が大きくなっている。また、 $Z_u$ より上空で見られる風速分布の線形的な増加は水平温度勾配によるものであると考えられる。 $Z_\theta$ の下方では温位がほぼ一定で大気が中立状態となっていることがわかる。

一方、相対湿度はその中で急激に変化をしている。このような傾向は他のすべてのケースにおいても観察された。各ケースにおける $Z_u$ と $Z_\theta$ の値を表-1に示す。図-3は $Z_u$ と $Z_\theta$ を比較したものであり福岡市、鹿児島市は共に正の相関をとることがわかる。また、相対湿度が最大となる高さは $Z_\theta$ と密接に関係している様に思われる。

図-4は850hPa付近におけるゾンデのデータから得た風速と850hPaの高層天気図から算定した地衡風速との関係を示す。高層天気図から地衡風の速度を求める際には以下の式を用いた。

$$U_g = -(1/f) \Delta \phi / \Delta y$$

$U_g$ ：地衡風の速度  $f$ ：コリオリのパラメーター  $\Delta \phi / \Delta y$ ：ジオポテンシャルの勾配

福岡市と鹿児島市では相関が1の直線を境界に互いに異なる結果となった。これらは大気境界層内における850hPa付近（高度1.3～1.5km）の風速分布が全体的に鹿児島の方が大きいことが影響している。

福岡市については $Z_u$ より下方のゾンデの風速データとソーダのデータを対数則にあてはめ、各ケースの摩擦速度 $U_*$ と粗度 $Z_0$ を算出した。図-5は風速分布を得られた $U_*$ と $Z_0$ を用いて規格化したものである。ゾンデとソーダのデータは共に $Z/Z_0 \leq 100$ において対数分布をとることがわかる。また、各ケースより得られた福岡市における $Z_0$ の平均値は5.9mであった。

**4.おわりに** ゾンデのデータおよびソーダによる観測から、冬型気圧配置における福岡市と鹿児島市上空付近での大気境界層の高度は、鹿児島市にばらつきがあるものの2.0km付近であり、風速は対数分布を取ることがわかった。大気境界層より上方の風速は温度風の影響から直線分布となることが推測された。

大気境界層 レーウィンゾンデ ドップラーソーダ

福岡県春日市春日公園 6-1 Tel (092)-583-7549 Fax (092)-592-8447

表-1 観測リスト

| case | 日/月/年    | 時刻 | Ug(m/s) | Zu(km) | Zθ(km) | Ug(m/s) | Zu(km) | Zθ(km) | U*(m/s) | Zo(m) |
|------|----------|----|---------|--------|--------|---------|--------|--------|---------|-------|
| 福岡   |          |    |         |        |        |         |        |        |         |       |
| 1    | 01/12/96 | 09 | 22.0    | 3.10   | 3.05   | 26.0    | 2.57   | 3.24   | 1.63    | 2.2   |
| 2    | 01/12/96 | 21 | 9.5     | 1.71   | 2.17   | 19.0    | 1.80   | 2.13   | 0.99    | 2.0   |
| 3    | 02/01/97 | 09 | 21.0    | 2.14   | 2.40   | 22.0    | 2.16   | 2.26   | 1.43    | 4.5   |
| 4    | 02/01/97 | 21 | 13.0    | 2.00   | 2.20   | 19.0    | 1.45   | 1.61   | 1.24    | 18.0  |
| 5    | 03/01/97 | 09 | 9.0     | 1.43   | 1.73   | 20.0    | 1.20   | 1.51   | 1.20    | 8.0   |
| 6    | 21/01/97 | 09 | 20.0    | 1.10   | 1.36   | 24.0    | 2.32   | 2.58   | 1.45    | 6.0   |
| 7    | 22/01/97 | 09 | 15.0    | 1.90   | 2.09   | 18.0    | 1.10   | 1.38   | 1.19    | 9.0   |
| 8    | 22/01/97 | 21 | 5.0     | 1.34   | 1.47   | 5.0     | 1.16   | 1.07   | *       | *     |
| 9    | 11/02/97 | 21 | 12.0    | 1.61   | 1.76   | 21.0    | 2.80   | 2.46   | 1.08    | 8.0   |
| 10   | 12/02/97 | 09 | 10.0    | 1.76   | 1.80   | 19.5    | 2.00   | 1.74   | 0.93    | 2.0   |
| 11   | 12/02/97 | 21 | 5.0     | 1.90   | 2.27   | 15.0    | 1.94   | 1.60   | *       | *     |
| 12   | 21/02/97 | 09 | 12.0    | 1.62   | 1.70   | 15.0    | 0.94   | 0.94   | 1.04    | 1.8   |
| 13   | 21/02/97 | 21 | 6.0     | 1.82   | 2.07   | 20.0    | 1.84   | 1.54   | 0.48    | 3.0   |

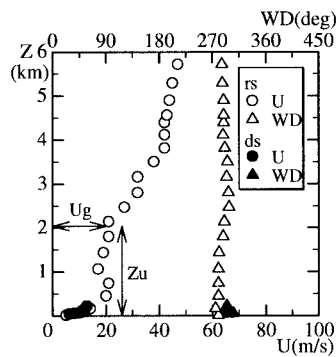


図-1 風速・風向の鉛直分布 (case3)

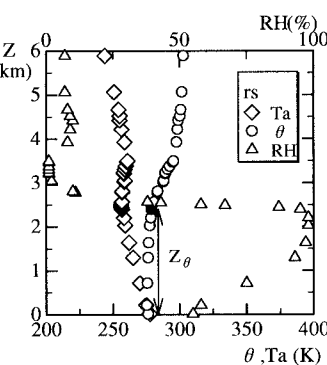


図-2 気温・温位・相対湿度  
の鉛直分布(case3)

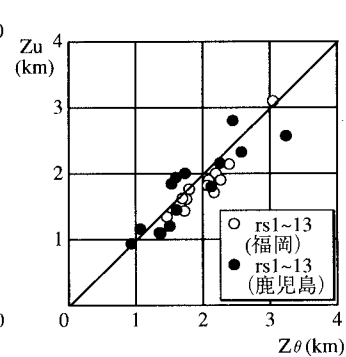


図-3  $Z_\theta$ と  $Z_u$  の相関

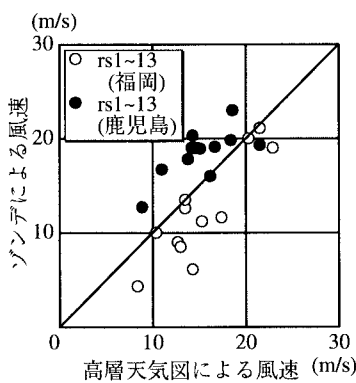


図-4 850hPa における地衡風速度の相関

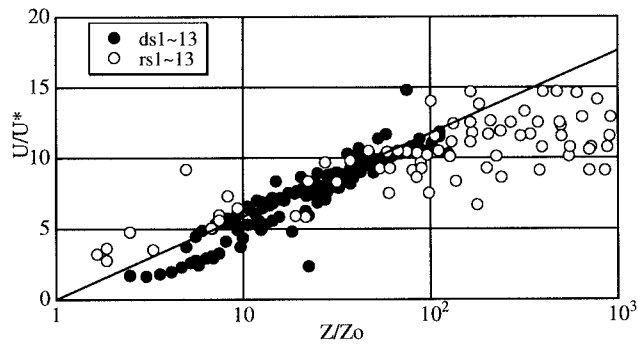


図-5  $Z/Z_o$  と  $U/U_*$  の関係